

Identification of Seasonal Snow-covered Seasons of Iran based on MODIS Data

***M. S. Keikhosrvai Kiany**

****S. A. Masoudian**

Abstract:

In this paper daily MODIS Terra and MODIS Aqua data were applied to calculate seasonal clustering of snow-covered days in Iran. These data are available in 500 * 500 meters. The applied data in this study are the finest available data for MODIS products. As the first step, numerical snow data were collected in Matlab software and then some algorithms were exploited to reduce cloud cover. After preparation of data the mean matrix of solar months from Farvardin to Esfand was prepared in Matlab. The dimension of the Matrix was 12 * 7541502 that rows represent each month and the columns depict spatial pixels. In the second step, the Euclidean distance was then calculated using ward method in Matlab. The findings of this study indicated that there are four snow-covered seasons in Iran. No snow season includes the months of Ordibehesht to Khordad, the transient months that are Farvardin and Aban, the shell of snow-covered season includes the months of Azar and Esfand. And the core of snow-covered season that incorporates the months of Dey and Bahman. And we also calculated for each of the climate season and each of solar months the number of snow-covered days and their areas in Iran. Investigations revealed that the highest area of one day snow-covered day is in the month of Dey. In this month the extent of one day snow-covered days covers 15 percent of the country. In the last step, the relation between snow-covered days and altitude was explored using Iran's Digital Elevation Model. The results confirmed that in each of season this relation is different.

Keywords: Snow-covered Days, MODIS Terra, MODIS Aqua, Seasonal Clustering, Iran.

*PhD Candidate, University of Isfahan, Iran.

**Professor, University of Isfahan, Iran

فصل‌بندی روزهای برپوشان ایران‌زمین به کمک داده‌های دورسنجی

محمد صادق کیخسروی کیانی: دانشجوی دکترا دانشگاه اصفهان، اصفهان، ایران

ابوالفضل مسعودیان*: استاد دانشگاه اصفهان، اصفهان، ایران

وصول: ۱۳۹۴/۵/۲۵ پذیرش: ۱۳۹۵/۱/۲۱، صص ۴۸-۳۳

چکیده

در این پژوهش، داده‌های روزانه دو سنجنده مودیس ترا و مودیس آکوا برای فصل‌بندی پوشش برف در ایران‌زمین به کار گرفته شد. داده‌های این دو سنجنده در تفکیک مکانی ۵۰۰ متر و به صورت رقومی در دسترس است. داده‌های به کار گرفته شده در این پژوهش، خردترین تفکیک موجود داده‌های سنجنده مودیس است. برای فصل‌بندی پوشش برف ایران‌زمین، نخست داده‌های رقومی پوشش برف در محیط نرم‌افزار متلب گرددآوری و سپس چند الگوریتم روی داده‌ها به منظور کاهش ابرناکی به کار بسته شد. پس از آماده‌سازی داده‌ها، آرایه میانگین بلندمدت دوازده ماه خورشیدی از فروردین تا اسفند در نرم‌افزار متلب محاسبه شد. ابعاد این آرایه 7541502×12 بود که سطرهای آن نماینده هر ماه و ستون‌های این آرایه نماینده یاخته‌های مکانی در ایران است. در گام بعدی فواصل اقلیدسی یاخته‌ها به کمک روش ادغام وارد در نرم‌افزار متلب محاسبه شد. یاخته‌های این پژوهش نشان داد که روی هم رفته در ایران‌زمین چهار فصل برپوشان دیده می‌شود: فصل بی‌برفی شامل ماه‌های اردیبهشت تا خرداد؛ فصل گذار شامل ماه‌های فروردین و آبان؛ فصل پوسته برپوشان شامل ماه‌های آذر و اسفند و فصل هسته برپوشان که شامل ماه‌های دی و بهمن می‌شود. همچنین برای هر یک از فصول اقلیدسی و هر کدام از ماه‌های خورشیدی شمار روزهای برپوشان و مساحت‌های آنها بررسی شد. مطالعات نشان داد بیشترین گستره مساحت روزهای برپوشان یک روزه در ماه دی دیده می‌شود. در این ماه، روزهای برپوشان یک روزه ۱۵ درصد از گستره کشور را پوشش می‌دهند. در گام پایانی، رابطه میان شمار روزهای برپوشان و ارتفاع برای هر یک از فصول اقلیدسی به کمک مدل رقومی ارتفاع ایران (Dem) محاسبه گردید. یاخته‌ها گویای آن بود که در هر یک از فصول اقلیدسی، این رابطه متفاوت است.

واژه‌های کلیدی: روزهای برپوشان، سنجنده مودیس ترا، سنجنده مودیس آکوا، فصل‌بندی، ایران

مقدمه

فرارودههای دورسنجدی گوناگونی از ماهواره‌های زمین‌آهنگ و قطب چرخ به جامعه علمی معرفی شده است (رمانو و همکاران^۸، ۲۰۰۳؛ دی رویتر و همکاران^۹، ۲۰۰۶؛ زائو و فراندس^{۱۰}، ۲۰۰۹؛ هال و همکاران^{۱۱}، ۲۰۱۰). پژوهشگران بسیاری، داده‌های سنجنده مودیس تررا و مودیس آکوا را برای بررسی وضعیت پوشش برف به کار گرفته‌اند که در ادامه به آنها اشاره می‌شود. جین و همکاران^{۱۲} (۲۰۱۴) برای بررسی وردش پوشش‌های برفی در فلات لوئیس در کشور چین داده‌های سنجنده مودیس تررا و مودیس آکوا را برای بازه زمانی ۲۰۰۳ تا ۲۰۱۳ به کار گرفتند. یافته‌ها نشان داد کمترین میزان پوشش برف از ماه می‌تا ماه آگوست دیده می‌شود، در حالی که بیشترین مساحت پوشش برف به میزان ۱۲۴۲۰۰۰ کیلومتر مربع در ماه ژانویه مشاهده می‌شود (جین و همکاران، ۲۰۱۴، ۱). کو و همکاران^{۱۳} (۲۰۱۳) برای واکاوی ویژگی‌های انباست و گدازش برف در حوضه رودخانه لاسا دره مالیا از داده‌های برف سنجنده مودیس در تفکیک زمانی ۸ روزه بهره گرفتند. یافته‌ها نشان داد گدازش برف در ماه مارس اندک بوده است، به آرامی در ماه آوریل افزایش و از میانه ماه می به آرامی، کاهش می‌یابد (کو و همکاران، ۲۰۱۳، ۱ و ۵). دهri و همکاران^{۱۴} (۲۰۱۱) برای ارزیابی ویژگی‌های فصلی پوشش برف در آبگیر رودخانه سوات در کشور پاکستان، داده‌های سنجنده مودیس

گستره پوشش برف، فراسنجه اقلیمی و آبشنختی بسیار مهمی برای پیش‌بینی رواناب در پهنه‌های برفگیر در فصل گدازش برف است. اندازه‌گیری و پیش‌بینی گستره برف برای بهبودبخشی به پیش‌بینی‌های اقلیمی و تصمیم‌گیری‌های مرتبط با مدیریت آب بسیار اهمیت دارد؛ بهویژه در پهنه‌های کوهستانی که بخش بزرگی از آب مورد نیاز را فراهم می‌کنند (موت و همکاران^۱، ۲۰۰۵). دوام و ماندگاری پوشش برف در یک پهنه، فارغ از ژرفا و عمق آن نشان‌دهنده شرایط اقلیمی آن منطقه است (لیذر و لوف^۲، ۱۹۹۷). برف یکی از منابع اساسی فراهم‌کننده آب شیرین و یکی از مؤلفه‌های مهم چرخه آب‌شناسی به شمار می‌رود (تکلی و تکلی^۳، ۲۰۱۲، ۵۵۳). گستره و وردش‌پذیری پوشش‌های برفی فراسنجه‌ای مهمی در سامانه‌های آبشنختی و آب و هواشناسی در مقیاس کلان است (یودنائس و همکاران^۴، ۲۰۰۷ و برون و آرم‌استرانگ^۵، ۲۰۱۰). ایستگاه‌های اندازه‌گیری به خصوص در پهنه‌های کوهستانی و مناطق دورافتاده برای اندازه‌گیری برف یا وجود ندارد و یا این که شمار آنها بسیار اندک است. برای این منظور، داده‌های دورسنجدی پوشش برف راهکار جایگزینی برای به دست آوردن آگاهی و اطلاعات از پوشش‌های برفی در مقیاس منطقه‌ای و جهانی است (هال و همکاران^۶، ۲۰۰۵؛ برون و آرم‌استرانگ^۷، ۲۰۱۰). برای این هدف

⁸ - Romanov et al.

⁹ - De Ruyter et al.

¹⁰ - Zhao and Fernandes

¹¹ - Hall et al.

¹² - Jin et al.

¹³ - Qiu et al.

¹⁴ - Dahri et al.

¹ - Mote et al.

² - Leathers and Luff

³ - Tekeli and Tekeli

⁴ - Udnæs et al.

⁵ - Brown and Armstrong

⁶ - Hall et al.

⁷ - Brown and Armstrong

همکاران^۳ (۲۰۱۱) برای بررسی ویژگی‌های فصلی پوشش برف در منطقه نیال و پهنه‌های پیرامون آن داده‌های سنجنده مودیس تررا را برای سال‌های ۲۰۰۰ تا ۲۰۰۸ به کار گرفتند. بررسی‌ها نشان داد در فصل زمستان میزان پوشش برف در گروه ارتفاعی ۴۰۰۰-۳۰۰۰ نسبت به کمربند ارتفاعی ۵۰۰۰-۴۰۰۰ و ۶۰۰۰-۵۰۰۰ بیشتر است، اما در فصول دیگر سال با افزایش ارتفاع در گروه‌های ارتفاعی یادشده، میزان برف با بالارفتن ارتفاع، افزایش می‌یابد (ماسکی و همکاران، ۲۰۱۱، ۳۹۵). هدف از پژوهش حاضر، فصل بندی ماههای برفپوشان در ایران به کمک داده‌های دورسنجی پوشش برف است؛ یعنی این که وضعیت پوشش برف در فصول اقلیمی محاسباتی بررسی و روشن می‌شود در چه ماههایی نباید انتظار پوشش برف داشت، چه ماههایی نقش ماههای گذار را دارند و در چه ماههایی بیشترین مقدار پوشش برف دیده می‌شود. پژوهش کنونی را می‌توان نخستین پژوهش در کشور دانست که این موضوع را بررسی می‌کند. یافته‌های این پژوهش می‌تواند در بخش‌های مختلف هواشناسی، آبشناختی و... سودمند باشد.

روش‌شناسی

در پژوهش کنونی داده‌های رقومی پوشش برف دو سنجنده مودیس تررا و مودیس آکوا به کار گرفته شد. داده‌های سنجنده مودیس تررا از تاریخ ۱۳۷۸/۱۲/۵ و داده‌های سنجنده مودیس آکوا از تاریخ ۱۳۸۱/۴/۱ در دسترس است. در داده‌های رقومی پوشش برف با فرمت اچ دی اف برای هر یاخته، یک کد تعریف شده است. برای نمونه کد ۲۰۰ نماینده برف، کد ۵۰

تررا را به کار گرفتند. یافته‌ها نشان داد بالاترین میزان پوشش برف در این پهنه در اوخر ماه ژانویه و اوایل فوریه دیده می‌شود و در این هنگام از سال، ۶۴ درصد از مساحت حوضه پوشیده از برف است. کمترین میزان پوشش برف نیز در ماه آگوست دیده شد. در این ماه تنها نزدیک به ۲ درصد از مساحت حوضه آن هم در بلندی‌ها پوشیده از برف است (دهری و همکاران، ۲۰۱۱، ۱۹). شی و همکاران^۱ (۲۰۱۴) برای واکاوی ویژگی‌های فصلی پوشش برف در حوضه رودخانه تریم در غرب کشور چین از داده‌های دو سنجنده مذکور برای بازه زمانی ۲۰۰۲ تا ۲۰۱۲ بهره بردند. یافته‌ها نشان داد پوشش‌های برفی در این پهنه از ماه مارس شروع به آب شدن می‌کنند تا این که در ماه آگوست پوشش برف به کمترین میزان خود می‌رسد. انباست برف از ماه سپتامبر آغاز و در ماه فوریه به بیشترین مقدار خود می‌رسد (شی و همکاران، ۲۰۱۴، ۲۴۲). کی و لیو^۲ (۲۰۱۴) برای بررسی وردش‌های فصلی پوشش برف در منطقه زینجانگ در کشور چین داده‌های دو سنجنده ذکر شده را به کار گرفتند و یک کاسه‌سازی کردند. بررسی‌ها نشان داد اوج پوشش برف در این پهنه در پایان ماه ژانویه دیده می‌شود و در این هنگام از سال نزدیک به ۴۰ درصد از این پهنه به زیر برف می‌رود. زمان گدازش برف از پایان ماه فوریه، آغاز و کمترین میزان پوشش برف در میانه ماه آگوست دیده می‌شود. در این ماه پهنه پوشیده از برف تنها ۳ درصد از کل منطقه را در بر می‌گیرد (کی و لیو، ۲۰۱۴). ماسکی و

¹ - She et al.

² - Ke and Liu

ممکن است خطا داشته باشد و برخی یاخته‌ها در عمل در طبیعت برفی نبوده‌اند، اما بر طبق این الگوریتم به کاربسته شده از یاخته‌های ابری به یاخته‌های برفی تبدیل شده‌اند. پاسخ این پرسش این است که بدون به کار بستن الگوریتم کاهش پوشش ابر، به کارگیری داده‌های خام به هیچ وجه منطقی نیست و نتایج نادرستی را به بار خواهد آورد. همان گونه که بسیاری از پژوهشگران به این مسئله اشاره کرده‌اند و پژوهشگرانی همچون دیاتر و همکاران^۱ (۲۰۱۳) و (۲۰۱۴)؛ زانگ و همکاران^۲ (۲۰۱۲) و گفورو و باردوسی^۳ (۲۰۰۹) به کارگیری پالایه را به منظور کاهش ابرناکی پیشنهاد کرده‌اند؛ بنابراین در این کوشش نیز از همان الگوریتم برای کاهش پوشش ابر بهره گرفته شد. همچنین یکی دیگر از روش‌هایی که برای کاستن از ابرناکی انجام می‌دهند، عبارت از ترکیب و یک‌کاسه‌سازی داده‌های دو سنجنده مودیس تررا و مودیس آکوا است. ماهواره تررا در ساعت ۱۰:۳۰ دقیقه به وقت محلی و ماهواره آکوا در ساعت ۱:۳۰ دقیقه به وقت محلی از روی منطقه می‌گذرد. ممکن است ماهواره تررا هنگام صبح با گذر از روی منطقه یاخته‌ای را به صورت یاخته ابری شناسایی کند، اما در بعد از ظهر ماهواره آکوا با گذر از روی منطقه همان یاخته را این بار یاخته برفی بشناسد. در این حالت با احتمال بالا می‌توان گفت وجود پوشش ابر در روز دوم بر فراز آن یاخته سبب شده است تا پوشش برف زیرین از دید ماهواره پنهان بماند. در این حالت می‌توان وجود این شرط را در سری زمانی داده‌های روزانه بررسی کرد و یاخته‌هایی را که روز قبل و بعد آنها برفی ولی همان روز، ابری هستند، شناخت و به یاخته‌های برفی تبدیل کرد. در این پژوهش برای کاستن از ابرناکی، یک کد برنامه‌نویسی در محیط نرم‌افزار متلب نوشته شد. در این برنامه روی کل سری زمانی داده‌های سنجنده مودیس تررا و مودیس آکوا وجود این شرط بررسی شد و یاخته‌های دارای شرایط از یاخته‌های ابری به یاخته‌های برفی تبدیل گردید. شاید این پرسش مطرح شود که انجام این کار

¹ - Dietz et al.² - Zhang et al.³ - Gafurov and Bardossy

آرایه نماینده زمان (دوازده ماه خورشیدی) و ستون‌ها نماینده یاخته‌های مکانی (تعداد یاخته‌های 500×500 متری که سراسر ایران را می‌پوشاند) هستند. سپس برای شناسایی ماههایی که الگوی مکانی تعداد روزهای برپوشان آن‌ها بیشترین همانندی را به یکدیگر داشت، فواصل اقلیدسی میان دوازده ماه محاسبه گردید. بعد از آن با روش ادغام وارد گروه‌بندی ماههای سال انجام گرفت. محاسبات نشان داد که ماههای سال را بر حسب همانندی الگوی مکانی تعداد روزهای برپوشان می‌توان به چهار بخش تقسیم کرد. در گام بعدی برای بررسی نقش ارتفاع در پراکنش روزهای برپوشان، مدل رقومی ارتفاع ایران (Dem) در تفکیک مکانی 500×500 متر و با سیستم تصویر سینوسی هماهنگ با تفکیک و سیستم تصویر داده‌های برف از تارنمای ناسا دریافت شد. در این مرحله برای بخش‌های مختلف سال، پیوند میان روزهای برپوشان و ارتفاع بررسی گردید. در شکل ۱ نقشه مدل رقومی ارتفاع ایران (Dem) در تفکیک مکانی 500 متر و با سیستم تصویر سینوسی آمده است. همچنین برای هر یک از چهار فصل اقلیمی، مناطقی که ماندگاری پوشش برف داشتند، شناسایی شد. در فصل بی‌برفی پنهنهایی که بیش از ۳۵ روز پوشش برف داشتند، شناسایی و میانگین ارتفاع این پنهنه‌ها از تراز دریا محاسبه شد. برای فصول گذار، پوسته برپوشان و هسته برپوشان پنهنهایی که بیش از ۵۰ درصد از موقع (بیش از ۳۰ روز برپوشان) پوشش برف داشتند، شناسایی و میانگین ارتفاع آنها از تراز دریا محاسبه گردید. در ادامه درباره فصول گذار، پوسته و هسته برپوشان و تعاریف آنها توضیحات لازم ارائه شده است.

کرده است. از این تفاوت چندین ساعته در زمان گذرا این دو ماهواره به منظور کاستن از ابرناتیکی می‌توان بهره برد. این پژوهشگران ترکیب و یک کاسه‌سازی داده‌های دو ماهواره را پیشنهاد داده‌اند: وانگ و همکاران^۱ (۲۰۰۹)، وانگ و زی^۲ (۲۰۰۹)؛ برجرون و همکاران^۳ (۲۰۱۳)، پراجکا و بلوشی^۴ (۲۰۰۸)؛ شی و همکاران^۵ (۲۰۱۴)؛ زانگ و همکاران^۶ (۲۰۱۲)؛ کی و لیو^۷ (۲۰۱۴) و دایتنر و همکاران^۸ (۲۰۱۴).

در این پژوهش نیز از همین الگوریتم بهره گرفته شد. با توجه به این که طول دوره مطالعه برای دو ماهواره از سال ۱۳۸۲ تا ۱۳۹۳ بوده که دربردارنده ۴۳۸۳ روز است و با در نظر گرفتن این که ۳۴۵۶۰۰۰۰ یاخته، منطقه ایران را پوشش می‌دهد، بنابراین در این پژوهش روی شمار انبوهی از کدها، پردازش‌های آماری و روی بیش از ۹۰۰ میلیارد داده، محاسبات عددی انجام شد.

برای برش زدن یاخته‌هایی که درون مرز جغرافیایی ایران قرار می‌گرفت از تابع اینپولیگون در محیط نرم‌افزار متلب بهره گرفته شد. پس از اعمال این تابع ۷۵۴۱۵۰۲ یاخته درون مرز ایران واقع شد. در گام بعدی نقشه‌های ۴۳۸۳ روز، بررسی، محاسبه و در نهایت میانگین‌گیری شد. محاسبه نقشه‌های میانگین فراوانی پوشش برف نیز جزء مراحل زمانبر این پژوهش بود. پس از این مرحله نقشه‌های میانگین ماهانه تعداد روزهای برپوشان به صورت آرایه‌ای به ابعاد 12×7541502 آرایش داده شد. سطرهای این

¹ - Wang et al.

² - Wang and Xie

³ - Bergeron et al.

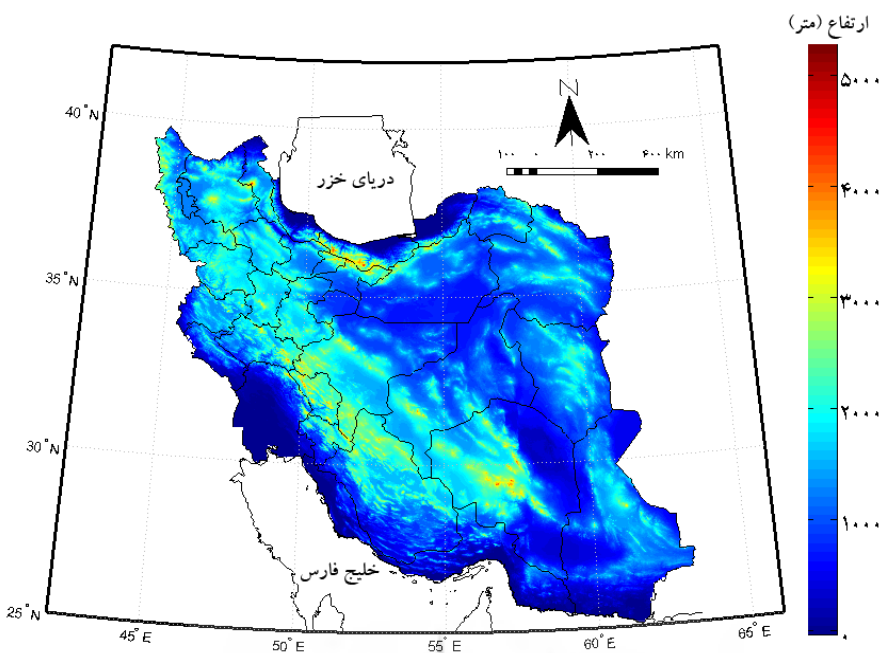
⁴ - Parajka and Bloschi

⁵ - She et al.

⁶ - Zhang et al.

⁷ - Ke and Liu

⁸ - Dietz et al.

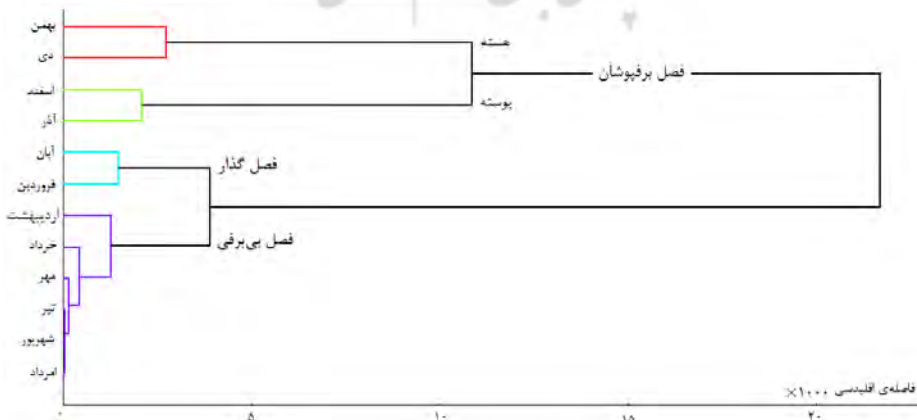


شکل (۱): نقشه مدل رقومی ارتفاع (Dem) ایران در تفکیک مکانی ۵۰۰ متر با سیستم تصویر سینوسی

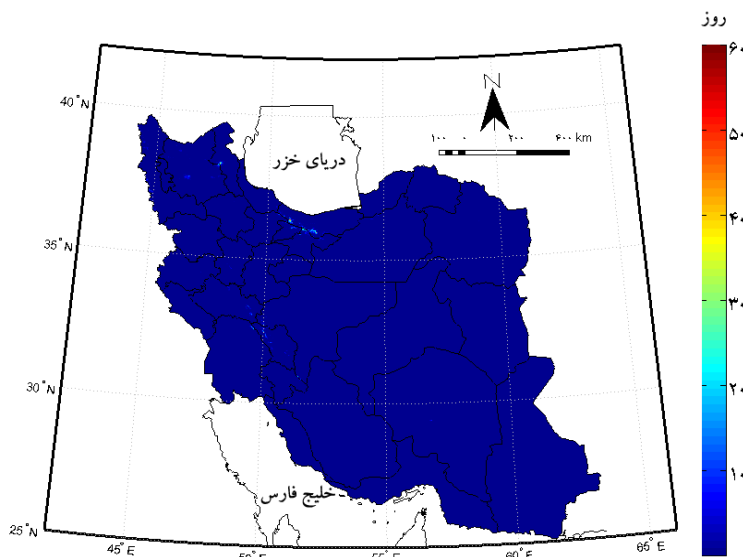
پوسته بخش می‌شود؛ هسته فصل برپوشان، ماههای دی و بهمن و پوسته فصل برپوشان، ماههای آذر و اسفند را دربرمی‌گیرد. ماههای فروردین و آبان نتش فصل گذار را دارند. فروردین فصل گذار از فصل برپوشان به فصل بی‌برفی و آبان فصل گذار از فصل بی‌برف به فصل برپوشان است. در شکل ۲ دارنمای ماههای برپوشان ایران نشان داده شده است. در شکل‌های ۳ تا ۶ وضعیت روزهای برپوشان ایران زمین بروز برای هر یک از فصول اقلیمی آمده است.

یافته‌های تحقیق

محاسبه فواصل اقلیدسی و گروه‌بندی ماههای سال (با روش ادغام وارد) نشان داد که ماههای سال را بر حسب همانندی الگوی مکانی تعداد روزهای برپوشان به چهار بخش می‌توان تقسیم کرد. منظور از روز برپوشان روزی است که زمین پوشیده از برف است. فصول اقلیمی محاسبه شده به این شرح است: فصل بی‌برفی که ماههای اردیبهشت تا مهر را شامل می‌شود؛ فصل برپوشان که خود به زیرفصل هسته و



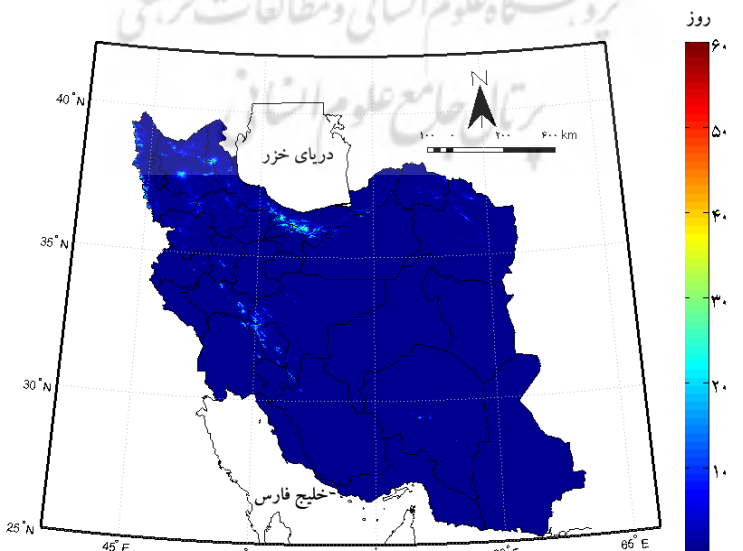
شکل (۲): دارنمای ماههای برپوشان ایران



شکل (۳): شمار روزهای برپوشان ایران در فصل بی‌برفی (اردیبهشت تا مهر)

۱۸/۹ کیلومتر مربع از مساحت کشور بیش از ۳۵ روز، پوشش برف دارند. میانگین ارتفاع این مناطق از تراز دریا ۴۶۳ متر است. این میانگین ارتفاع نشان می‌دهد که دما نقش مهمی در پوشش‌های برفی دارد. در این فصل، کمترین ارتفاع که دست‌کم ۳۵ روز برپوشان دارد، ۳۹۵۵ متر است. در فصل بی‌برفی که به نوعی نمایندهٔ ماههای گرم سال است، پوشش‌های شایان توجه برف محدود به نواحی بسیار پر ارتفاع کشور است.

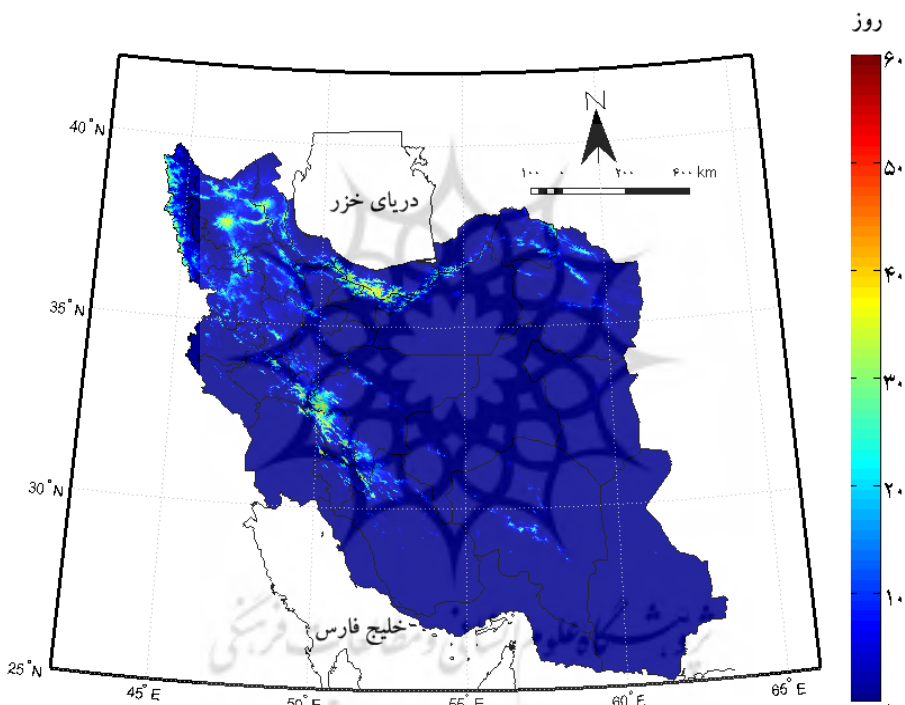
در فصل بی‌برفی که ماههای اردیبهشت تا خرداد را شامل می‌شود، شمار روزهای برپوشان بسیار کم و بیشتر در بلندی‌های مرتفع کشور دیده می‌شود. در این فصل، پوشش برف به طور محدود و پراکنده تنها روی رشته کوههای البرز، زاگرس و کوههای سهند و سبلان مشاهده می‌شود. پوشش برف در این موقع از سال در رشته کوههای البرز بیشتر از مناطق دیگر است. شکل ۳ نمایش دهندهٔ پراکنش روزهای برپوشان کشور در این فصل است. محاسبات نشان داد در فصل بی‌برفی



شکل (۴): شمار روزهای برپوشان در فصل گذار (فروردین و آبان)

برف شده‌اند (شکل ۴). محاسبات نشان داد در فصل گذار ۵۴/۳۹ کیلومتر مربع از کشور بیش از ۵۰ درصد از موقع (بیش از ۳۰ روز برپوشان) پوشش برف دارد و میانگین ارتفاع این مناطق از تراز دریا ۳۶۰۷ متر است. در این فصل کمترین ارتفاعی که در آن ۵۰ درصد از موقع (بیش از ۳۰ روز برپوشان) پوشش برف وجود دارد، ۳۱۸۷ متر است.

در فصل گذار که ماه‌های فروردین و آبان را شامل می‌شود، پراکنش روزهای برپوشان در کشور نسبت به فصل بی‌برفی گستردگر و فراوان‌تر شده است. در این فصل بیشترین فراوانی روزهای برپوشان در رشته کوه‌های البرز دیده می‌شود. در این موقع از سال ارتفاعات هزار و لاله‌زار نیز پوشش برف دارند. همچنین نواحی کم ارتفاع‌تر زاگرس، منطقه آذربایجان و خراسان در قیاس با فصل بی‌برفی دارای پوشش



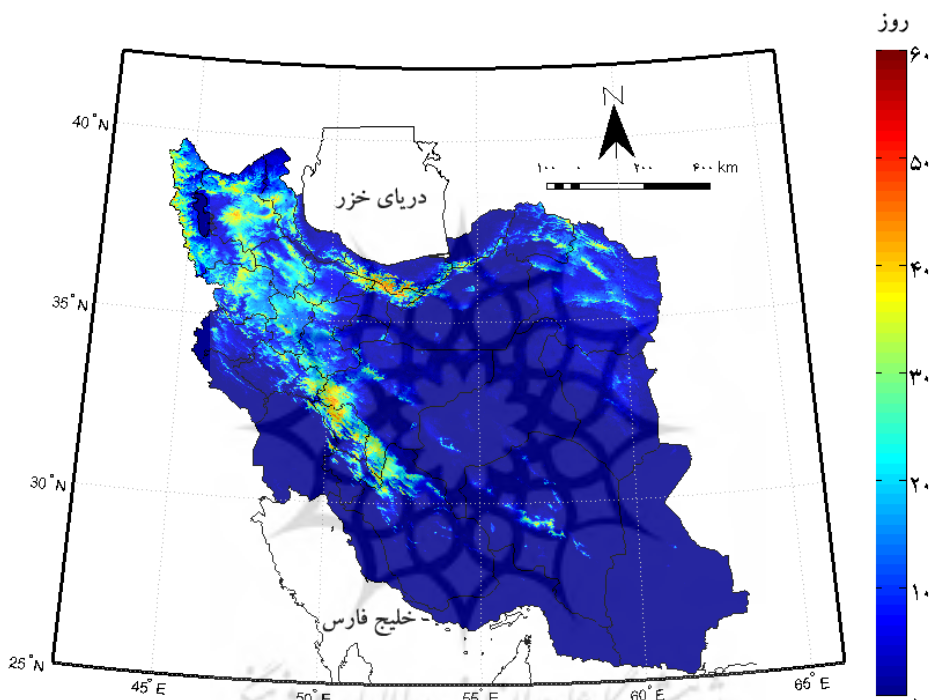
شکل (۵): شمار روزهای برپوشان در فصل پوسته برپوشان (آذر و اسفند)

سیلان دیده می‌شود (شکل ۵). در این فصل که روی هم رفته ۶۰ روز طول می‌کشد برخی از بلندی‌های کشور تا ۵۵ روز پوشیده از برف هستند. بررسی‌ها آشکار کرد که در فصل پوسته برپوشان ۸۹۴۹/۵۷ کیلومتر مربع از کشور بیش از ۵۰ درصد از موقع (بیش از ۳۰ روز برپوشان) پوشش برف دارد و میانگین ارتفاع این مناطق از تراز دریا ۳۰۱۵ متر است.

فصل پوسته برپوشان، ماه‌های آذر و اسفند را شامل می‌شود. در این فصل، فراوانی و نیز گستره روزهای برپوشان در قیاس با فصل گذار بسیار بیشتر شده است و بسیاری از نواحی پایکوهی نیز در این موقع از سال، پوشش برف دارند. بیشترین فراوانی روزهای برپوشان در این هنگام در دامنه‌های شمالی البرز، رشته کوه‌های زاگرس و پس از آن روی سهند و

بنابراین دمای سردتر فصل پوسته برپوشان سبب شده است تا ارتفاع برف کاهش یابد. در شکل (۷) پراکنش ارتفاعاتی که بیش از ۵۰ درصد از موقع در این فصل پوشیده از برف هستند، نشان داده شده است. این نواحی ارتفاعی به رشته کوه‌های البرز، زاگرس و برخی مناطق شمال غرب محدود می‌باشد.

در طی این فصل حداقل ارتفاعی که این شرایط را دارد ۲۰۳۹ متر است و از این ارتفاع به بالاست که ۵۰ درصد از موقع پوشش برف وجود دارد. در مقایسه با فصل گذار، میانگین ارتفاعی که در آن ۵۰ درصد از موقع زمین پوشیده از برف است، کاهش یافته است. در این فصل به طور میانگین ۵۹۲ متر از ارتفاع این مناطق در مقایسه با فصل گذار کاسته شده است.



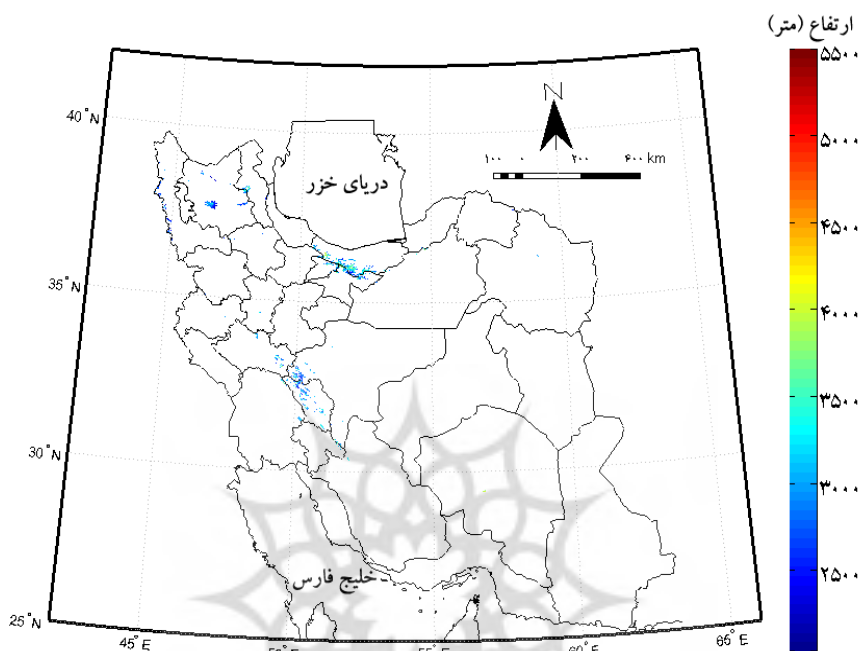
شکل (۶): شمار روزهای برپوشان در فصل هسته برپوشان (دی و بهمن)

نقشه‌های پوشش برف مشخص می‌شود که ارتفاع چه تأثیر زیادی در پراکنش روزهای برپوشان دارد. در این فصل ۴۰۳۸/۶۸ کیلومتر مربع از گستره ایران بیش از ۵۰ درصد از موقع (بیش از ۳۰ روز برپوشان) پوشش برف دارد. میانگین ارتفاع این مناطق از تراز دریا ۲۶۰۲ متر مربع است. بنابراین نسبت به فصل پوسته برپوشان میانگین ارتفاع مناطقی که ۵۰ درصد از فصل، پوشیده از برف هستند، ۴۱۳ متر کاهش یافته است. کمترین ارتفاع این مناطق ۱۵۱۹ متر محاسبه شد. یعنی کمترین ارتفاعی که در

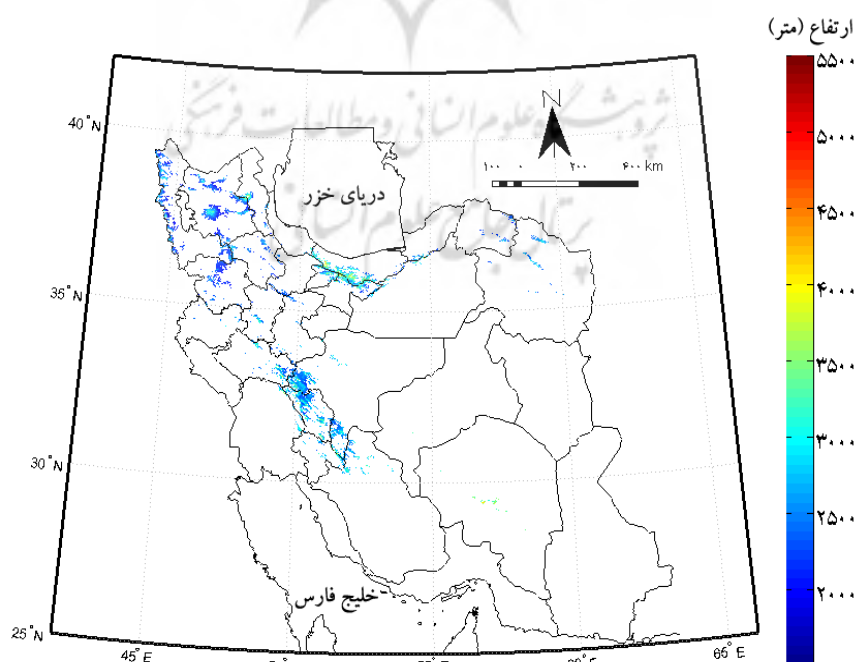
در فصل هسته برپوشان که شامل ماههای دی و بهمن می‌شود، شمار روزهای برپوشان و گستره آن افزایش یافته است. در این فصل بسیاری از مناطق ایران، پوشش برف دارند. در این موقع سرتاسر نوار غربی کشور در راستای کوه‌های زاگرس پوشیده از برف است. همچون فصول قبلی، بیشترین میزان پوشش برف روی دامنه‌های شمالی البرز دیده می‌شود. در این هنگام از سال پنهنه‌های وسیعی از مناطق شمال شرقی ایران نیز برف دارند. با دقت در نقشه مدل رقومی ارتفاع (Dem) ایران و مقایسه آن با

مناطقی است که 50° درصد از موقع در فصل هسته برپوشان پوشیده از برف هستند. این مناطق در راستای رشته کوههای زاگرس، البرز، بخش‌هایی از شمال غرب و به طور پراکنده در بلندی‌های کرمان دیده می‌شوند.

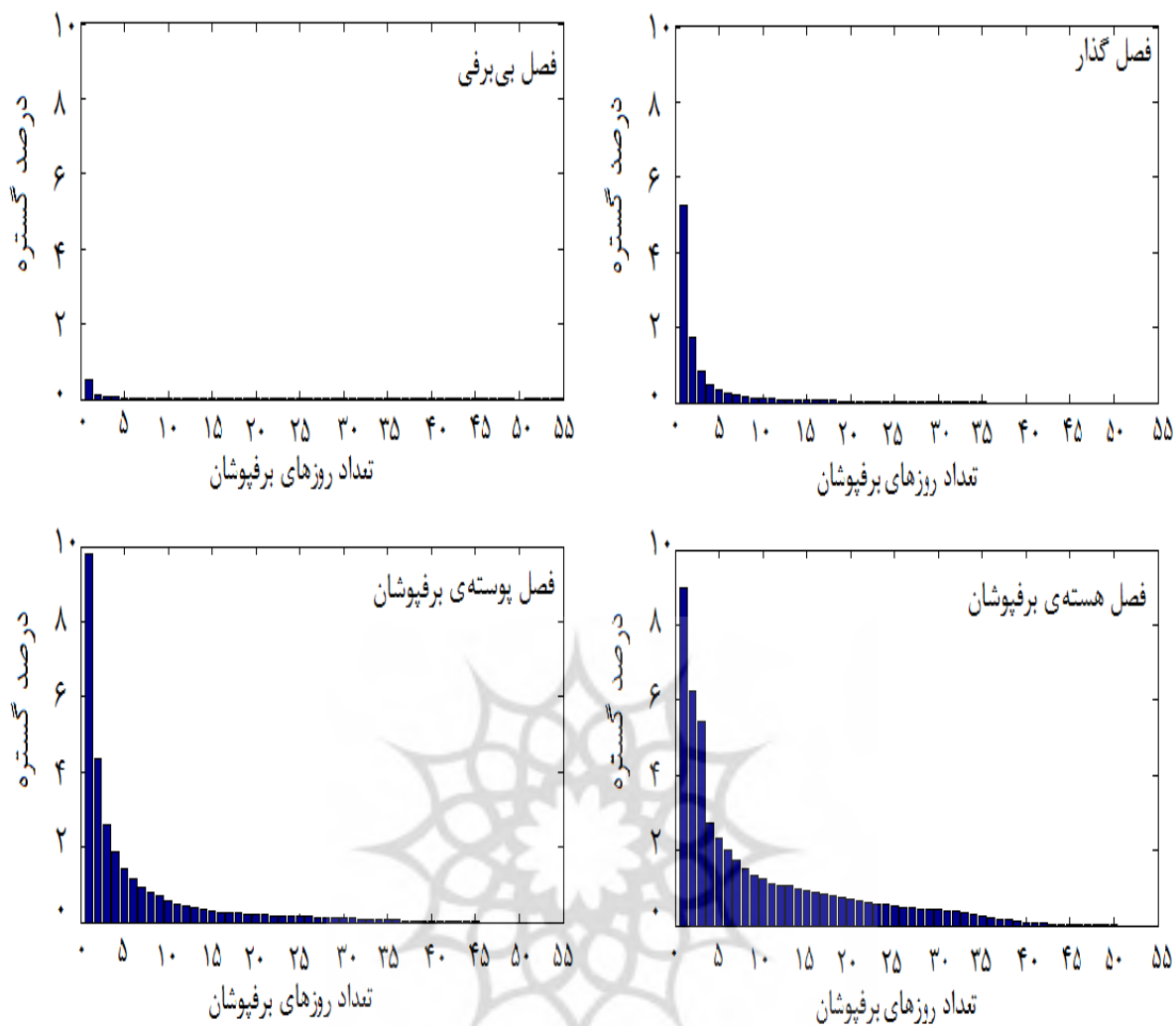
آن دست کم 50° درصد از موقع زمین پوشیده از برف است از 1519 متر آغاز می‌شود. مشاهده می‌شود که در فصل هسته برپوشان میانگین ارتفاع این مناطق نسبت به فصول دیگر کمینه است. شکل (۸) نشان‌دهنده پراکندگی



شکل (۷): نقشهٔ پراکندگی ارتفاعاتی که در فصل پوستهٔ برپوشان بیش از 50° درصد از موقع پوشیده از برف هستند.



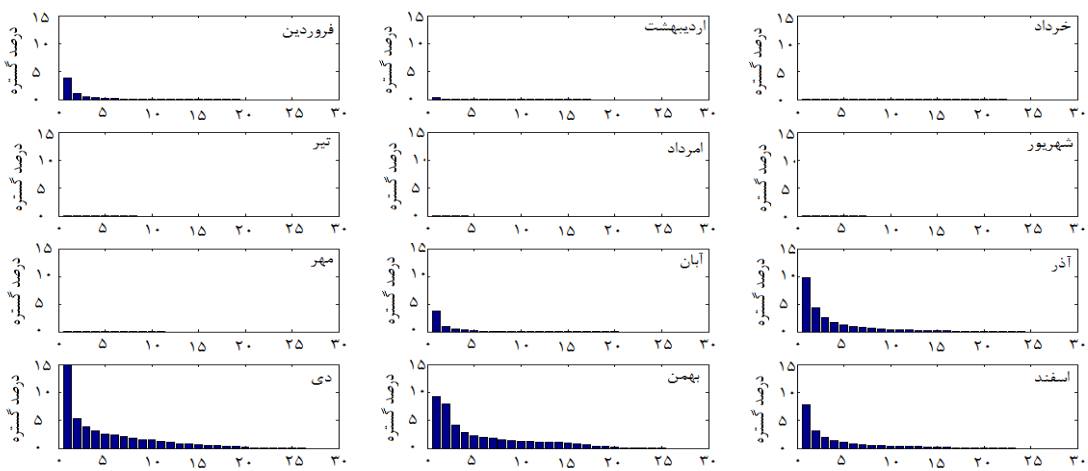
شکل (۸): نقشهٔ پراکندگی ارتفاعاتی که در فصل هستهٔ برپوشان بیش از 50° درصد از موقع پوشیده از برف می‌باشد.



شکل (۹): درصد گستره شمار روزهای برفپوشان در چهار فصل اقلیمی

درصد از گستره ایران زمین را نیز در برمی‌گیرد. یعنی نواحی که یک روز پوشش برف دارند، نزدیک به ۵ درصد از گستره کشور را پوشش می‌دهند و با افزایش شمار روزهای برفپوشان، گستره زیر برف هم کاهش می‌یابد. در فصل پوسته برفپوشان، روزهای برفپوشان یک روزه نزدیک به ۱۰ درصد از مساحت ایران را در برمی‌گیرد و با افزایش شمار روزهای برفپوشان مساحت مربوط به آن کاهش بسیاری را نشان می‌دهد. در فصل هسته برفپوشان، روزهای برفپوشان، مساحت‌های بیشتری از کشور را در برمی‌گیرند.

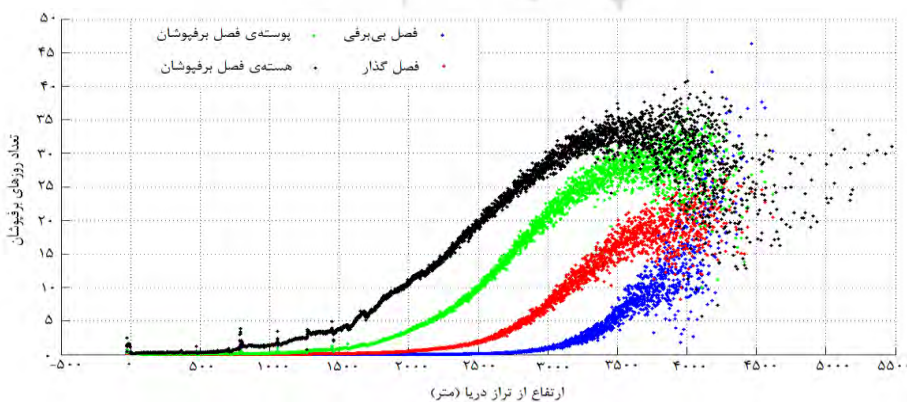
شکل ۹ درصد گستره روزهای برفپوشان در چهار فصل اقلیمی سال را نشان می‌دهد. در فصل بی‌برفی روزهای برفپوشان یک روزه کمتر از ۱ درصد از گستره ایران را می‌پوشاند. به بیان روشن‌تر یعنی مناطقی که در فصل بی‌برفی یک روز پوشش برف دارند، کمتر از ۱ درصد گستره ایران را شامل می‌شوند. در این فصل فراوانی روزهای برفپوشان بسیار اندک است. در فصل گزار، شمار روزهای برفپوشان افزایش بسیار بیشتری را نسبت به فصل بی‌برفی نشان می‌دهد. در این موقع از سال روزهای برفپوشان یک روزه تا ۵



شکل (۱۰): درصد گستره روزهای برپوشان در ماههای سال

آبانماه پوشش می‌دهد. در ماههای دی و بهمن بیشترین تعداد روزهای برپوشان دیده می‌شود و روزهای برپوشان مساحت‌های بیشتری را نشان می‌دهد. در ماه دی، روزهای برپوشان یک روزه تا ۱۵ درصد از مساحت کشور را در برمی‌گیرد، اما روزهای برپوشان دو روزه نزدیک به ۵ درصد از مساحت کشور را پوشش می‌دهد. اختلاف زیادی میان مساحت روزهای یک روزه و دو روزه دیده می‌شود، اما در ماه بهمن روزهای برپوشان یک روزه و دو روزه از نظر مساحت، اختلاف زیادی با هم ندارند. در ماه اسفند روزهای برپوشان و مساحت‌های مربوط به آنها نیز دوباره رو به کاهش می‌گذارند. الگوی روزهای برپوشان اسفندماه به آذرماه، شباهت بالایی دارد.

شکل ۱۰ درصد گستره روزهای برپوشان را در ماههای مختلف سال نشان می‌دهد. پوشش برف از ماه فروردین به بعد کاهش بسیار چشم‌گیری را نشان میدهد. ماه فروردین نقش ماه گذار از برف به برفی را دارد. در ماههای اردیبهشت، خرداد، تیر، مرداد، شهریور و مهر روزهای برپوشان مساحت‌های بسیار ناچیزی را در برمی‌گیرد. عملأ در این ماهها پوشش برف بسیار ناچیز است و این ماهها را همان گونه که گفته شد، می‌توان فصل بی‌برفی ایران دانست. ماه آبان نقش ماه گذار از بی‌برفی به برف را دارد. در این ماه، روزهای برپوشان مساحت‌های بیشتری را نسبت به ماههای قبلی دربرمی‌گیرد. در ماه آذر، روزهای برپوشان مساحت‌های بسیار بیشتری را نسبت به



شکل (۱۱): رابطه تعداد روزهای برپوشان در فصول اقلیمی با ارتفاع در ایران زمین

رابطه شمار روزهای برپوشان و ارتفاع، یک الگوی پراکنده را از خود نشان می‌دهد. افزایش ارتفاع و به دنبال آن کاهش دما نقش بسیار مهمی در پوشش برف دارد. برای مثال همان طور که در شکل ۱۱ مشاهده می‌شود در فصل هسته برپوشان در ارتفاع ۲۰۰۰ متری از تراز دریا ۱۰ روز زمین پوشیده از برف است، اما در فصل پوسته برپوشان به طور میانگین در ارتفاع ۲۵۰۰ متری از تراز دریا ۱۰ روز برپوشان وجود دارد و روزهای برپوشان ۱۰ روزه این بار در ارتفاع ۵۰۰ متر بالاتر دیده می‌شود. با وجود این در فصل گذار در ارتفاع تقریبی ۳۲۰۰ متر ۱۰ روز برپوشان وجود دارد و در این موقع از سال نسبت به فصل پوسته باید ۷۰۰ متر بالاتر رفت تا به ۱۰ روز برپوشان رسید. در فصل بی‌برفی به طور تقریبی روزهای برپوشان ۱۰ روزه در ارتفاع ۳۷۰۰ متری دیده می‌شود. بنابراین روشن است که تغییرات دما چه اثر چشمگیری در روزهای برپوشان دارد.

نتیجه‌گیری

در پژوهش حاضر برای فصل بندی روزهای برپوشان ایران از داده‌های رقومی سنجنده‌های مودیس تررا و مودیس آکوا بهره گرفته شد. به منظور فصل بندی روزهای برپوشان ایران از تحلیل خوشگاهی به روش ادغام وارد استفاده شد. محاسبات نشان داد در ایران چهار فصل اقلیمی متمایز وجود دارد: فصل بی‌برفی که ماههای اردیبهشت تا خرداد را شامل می‌شود؛ فصل گذار که در بردارنده ماههای فروردین و آبان است؛ فصل پوسته برپوشان که مشتمل بر ماههای آذر و اسفند است و در نهایت فصل هسته برپوشان که ماههای دی و بهمن را دربرمی‌گیرد. بررسی‌ها نشان داد ماه فروردین نقش ماه گذار از برف به بی‌برفی و

با افزایش ارتفاع، دمای هوای نیز کاهش می‌یابد و کاهش دما ماندگاری بیشتر پوشش برف را سبب می‌شود. شکل ۱۱ نشان‌دهنده رابطه روزهای برپوشان در فصول اقلیمی با ارتفاع در ایران زمین است. همان گونه که از این نمودار برمرآید الگوی رابطه شمار روزهای برپوشان با ارتفاع در همه فصول مانند هم است؛ یعنی با افزایش ارتفاع، شمار روزهای برپوشان نیز افزایش می‌یابد، اما رفتار شمار روزهای برپوشان با میزان افزایش ارتفاع در هر یک از فصول اقلیمی متفاوت است. در هسته فصل برپوشان آنگ تغییرات روزهای برپوشان با افزایش ارتفاع شدیدتر از فصول دیگر است. این فصل، نماینده ماههای دی و بهمن است. در این هنگام از سال از ارتفاع تقریبی ۱۵۰۰ تا ۳۰۰۰ متر رابطه خطی نیرومندی میان شمار روزهای برپوشان و ارتفاع دیده می‌شود و پس از ارتفاع ۳۰۰۰ به بالا الگوی رابطه میان شمار روزهای برپوشان و ارتفاع، نظم خود را از دست می‌دهد. دلیل برهم خوردن رابطه روزهای برپوشان و ارتفاع در ارتفاعات بلند کشور را می‌توان به سبب تنگی شبیه دانست. افزایش شبیه زمین موجب می‌شود تا شرایط مناسب برای نشست برف وجود نداشته باشد. فصل پوسته برپوشان، ماههای آذر و اسفند را شامل می‌شود. در این فصل از ارتفاع تقریبی ۲۰۰۰ تا ۳۰۰۰ متر رابطه روزهای برپوشان و ارتفاع، یک رابطه خطی است. اما از ارتفاع حدود ۳۰۰۰ متر به بالا نظم این رابطه کاهش می‌یابد و یک الگوی پراکنده را از خود نشان می‌دهد. در فصل گذار که ماههای فروردین و آبان است از ارتفاع حدود ۲۸۰۰ تا ۳۵۰۰ متر، یک رابطه خطی بین شمار روزهای برپوشان و ارتفاع وجود دارد. در فصل بی‌برفی که نماینده ماههای اردیبهشت تا خرداد است از ارتفاع ۳۲۰۰ متر به بالا

- Hydrological Processes*, 1-14.
- Brown, R., Armstrong, R. L. (2010). Snow-cover data measurement, products and sources in snow and climate. In *Physical Processes, Surface Energy Exchange and Modeling*, Armstrong RL, Brun E(eds). Cambridge University Press: Cambridge, UK.
- Dahri, Z. Ahmad, B., Leach, J., Ahmad, S. (2011). Satellite-Based Snow cover Distribution and Associated Snowmelt Runoff Modeling in Swat River Basin of Pakistan; *Proceedings of the Pakistan Academy of Sciences* 48: 19° 32.
- de Ruyter de Wildt, M., Seiz, G., Grün, A. (2006). Snow mapping using multi-temporal Meteosat-8 data. *EARSel Proc.* 5: 18° 31.
- Dietz, A., Kuenzer, C., Conrad, C. (2013). Snow-cover variability in central Asia between 2000 and 2011 derived from improved MODIS daily snow-cover products; *International Journal of Remote Sensing*; 34, 3879° 3902.
- Dietz, A., Conrad, C., Kuenzer, C., Gesell, G. and Dech, S. (2014). Identifying Changing Snow Cover Characteristics in Central Asia between 1986 and 2014 from Remote Sensing Data, *Remote Sens*, 6: 12752-12775.
- Gafurov, A., Bardossy, A. (2009). Cloud removal methodology from MODIS snow cover product, *Hydrol. Earth Syst. Sci.*, 13: 1361° 1373.
- Hall, D. K., Kelly, R. E., Foster, J., Chang, A. T. (2005). Estimation of snow extent and snow properties. In *Encyclopedia of Hydrological Sciences*, Anderson MG (ed). Chichester: John Wiley and Sons, Ltd. 2: 811° 830.
- Hall, D. K., Riggs, G. A., Foster, J. L., Kumar, S. V. (2010). Development and evaluation of a cloud-gap-filled modis daily snow-cover product. *Remote Sens. Environ.* 114: 496° 503.
- Jin, X., Ke, C., Xu, Y. & Li, X. (2014). Spatial and temporal variations of snow cover in the Loess Plateau, China; *International Journal of Climatology*; 1-11.
- Ke, C. & Liu, X. (2014). Modis-observed spatial and temporal variation in snow cover in Xinjiang, China; *Climate Research* 59: 15-26.
- ماه آبان نقش ماه گذار از بی‌برفی به برف را دارد. ترسیم الگوهای پراکنش پوشش برف کشور برای هر یک از فصول اقلیمی نشان داد روی هم رفته بیشترین فراوانی روزهای برپوشن در دامنه‌های البرز و پس از آن در دامنه‌های زاگرس و کوههای سهند و سبلان دیده می‌شود. بررسی رابطه شمار روزهای برپوشن با ارتفاع در چهار فصل اقلیمی مشخص کرد که الگوی افزایش روزهای برپوشن در هر یک از فصول، همانند هم است و با افزایش ارتفاع، شمار روزهای برپوشن افزایش می‌یابد، اما افزایش روزهای برپوشن با افزایش ارتفاع در هر یک از فصول تا یک ارتفاع به خصوص نظم دارد و از یک ارتفاع معین به بالا نظم خود را از دست می‌دهد؛ چرا که افزایش شبیب زمین موجب می‌شود تا شرایط مناسب برای نشست برف وجود نداشته باشد. همچنین مساحت پوشش برف برای هر یک از فصول اقلیمی و ماههای سال و برای هر کدام از روزهای برپوشن محاسبه شد. بررسی‌ها آشکار کرد که در ماههای اردیبهشت تا مهر، گستره پوشش برف روزهای برپوشن بسیار ناچیز است. بیشترین گستره برف در ماه دی دیده شد. در این ماه، روزهای برپوشن یک روزه ۱۵ درصد از گستره ایران را دربرمی‌گیرد. در مجموع یافته‌های این پژوهش شناخت وضعیت پوشش برف ایران زمین را بیشتر کرد. یافته‌های به دست آمده از این نوشتار برای بخش‌های کشاورزی، هواشناسی، وزرات نیرو و.... می‌تواند کاربردی و سودمند باشد.
- ### منابع
- Bergeron, J., Royer, A., Turcotte, R. & Roy, A. (2013). Snow cover estimation using blended MODIS and AMSR-E data for improved watershed-scale spring streamflow simulation in Quebec, Canada;

- Hydrology*, 371: 192-200.
- Zhang, G., Xie, H., Yao, T., Liang, T. & Kang, S. (2012). Snow cover dynamics of four lake basins over Tibetan Plateau using time series MODIS data(2001-2010), *Water resources reaserch*, 48: 1-22.
- Zhao, H. & Fernandes, R. (2009). Daily snow cover estimation from advanced very high resolution radiometer polar pathfinder data over Northern Hemisphere land surfaces during 1982° 2004. *J. Geophys.Res.* 114: 1-14.
- Leathers, D. & Luff, B. (1997). Characteristics of snow cover duration across the northeast United States of America. *International Journal of Climatology*, 1:: 1:::1::: .
- Maskey, S., Unlenbrook, S. & Ojha, S. (2011). An analysis of snow cover changes in the Himalayan region using MODIS snow products and in-situ temperature data; *Climate Change* 108: 391-400.
- Mote, P., Hamlet, A., Clark, M. & Lettenmaier, D. (2005). Declining mountain snowpack in western North America. *Bulletin of the American Meteorological Society*, 86: 39-49.
- Parajka, J. & Bloschi, G. (2006). Validation of MODIS snow cover images over Austria, *Hydro.Earth Syst. Sci. Discuss*; 3: 1569-1601.
- Qiu, L., You, J., Qiao, F. & Peng, D. (2013). Simulation of snowmelt runoff in ungauged basins based on MODIS: A case study in the Lhasa River basin, *Stoch Environ Res Risk Assess*, 1-9.
- Romanov, P., Tarpley, D., Gutman, G. & Carroll, T. R. (2003). Mapping and monitoring of the snow cover fraction over North America. *J.Geophys. Res.* 108(D16): 8619.
- She, J., Zhang, Y., Li, X. & Chen, Y. (2014). Changes in snow and glacier cover in an arid watershed of the western Kunlun Mountains using multisource remote sensing data; *International Journal of Remote Sensing*; 35 : 234-252.
- Tekeli, Y. & Tekeli, A. E. (2012). A technique for improving MODIS standard snow products for snow cover monitoring over Eastern Turkey, *Arab J Geosci* 5: 353° 363.
- Udnaes, H., Alfnes, C. E., Andreassen, L. M. (2007). Improving runoff modeling using satellite-derived snow cover area. *Nord.Hydrol.*38: 21° 32.
- Wang, X., Xie., H., Liang, T. and Huang, X. (2009). Comparison and validation of MODIS standard and new combination of Terra and Aqua snow cover products in northern Xinjiang, China. *Hydro.Process.* 23: 419-429.
- Wang, X. & Xie, H. (2009). New methods for studying the spatiotemporal variation of snow cover based on combination products of MODIS Terra and Aqua; *Journal of*



پژوهشگاه علوم انسانی و مطالعات فرهنگی
پرستال جامع علوم انسانی